

4. Куценко Л.М. Визначення паралельних кривих як розв'язку диференціального рівняння ейконал // Прикладна геометрія та інженерна графіка. – К.: КНУБА, 2003. - Вип. 72. – С. 37-42.
5. Шоман О.В. Геометрическое моделирование поверхностей раздела двухфазных гетерогенных смесей // Вестник Херсонского государственного техн. Университета, 2002. - Том 15. - № 2. - С. 509-512.
6. Куценко Л.М., Шоман О.В. Метод опису паралельних поверхонь за допомогою нормальніх функцій // Геометричне та комп'ютерне моделювання. - Харків: ХДУХТ, 2004. - Вип. 5. - С. 12-19.
7. Шоман О.В. Метод опису еквіфазних поверхонь гетерогенного процесу // Геометричне та комп'ютерне моделювання. - Харків: ХДУХТ, 2004. - Вип. 4. - С. 107-114.
8. Шоман О.В. Метод опису паралельних поверхонь як графічних проявів гетерогенних процесів // Геометричне та комп'ютерне моделювання. - Харків: ХДУХТ, 2005. - Вип. 13. - С. 105-114.

Получено 17.03.2006 г.

УДК 528.71

О.В.Реута

## **СТИСНЕННЯ БЕЗ ВТРАТ ПРОЕКЦІЙНИХ ЗОБРАЖЕНЬ З ВИКОРИСТАННЯМ ДВУВІМІРНОГО КОДУВАННЯ**

### **Постановка проблеми**

Процеси отримання проекційних зображень у сучасних системах дистанційного зондування земної поверхні здебільшого орієнтовані на збереження і передачу таких зображень у растроformatі безвідносно до особливостей їх проекційної природи, що вносить значну інформаційну збитковість і знижує ефективність відповідних автоматизованих систем. Між тим в теперешній час мається значна кількість алгоритмів, методів і методик усунення такої збитковості, але в них також не враховуються особливості проекційних зображень зазначеного типу. Розв'язання зазначеної проблеми вбачається, з одного боку, у розробці таких форм подання растроformatів проекційних зображень, які б забезпечували можливість ефективного застосування сучасних алгоритмів стиснення, а з іншого — відповідна адаптація обраних алгоритмів.

© О.В.Реута, 2006

### Аналіз останніх досліджень

Серед алгоритмів без втрат широке застосування знайшли RLE — алгоритм групового кодування за рахунок ланцюжків однакових байтів, LWZ (Lempel, Ziv, Welch) — стиснення за рахунок ланцюжків байт, що повторюються, CCITT Group 3 — заміна послідовностей однакових бітів їх кількостями з подальшим кодуванням за Хаффманом з фіксованою таблицею, CCITT Group 4 — модифікація попереднього методу, в якій виконується стиснення різниці двох послідовних рядків раству (в тепершній час ці алгоритми мають назви ITU-T T4 і ITU-T T6, відповідно) [1 – 2], JBIG (Joint Bi-level Experts Group) — стиснення шляхом виділення бітових площин [3] та Lossless JPEG (Joint Photographic Expert Group) — із застосуванням дискретного косинусного перетворення та кодування за Хаффманом. Недоліком усіх зазначених алгоритмів є невисокий ступінь стиснення (в середньому 1.5–5 разів), який у більшості випадків для сучасних інформаційних систем є недостатнім.

### Формулювання цілей статті (постановка завдання)

Ціллю статті є розробка способу стиснення растроїв проекційних зображень без втрат, який би враховував особливості їх формоутворення в автоматизованих системах дистанційного збору інформації, зокрема, фотограмметричних.

### Основна частина

Дана робота є розвитком підходу, запропонованого в [4 – 5] для розв’язання проблеми реконструкції растроїв зображень. Процедура стиснення такого зображення, що пропонується, виконується за наступною схемою: вихідне зображення → оптимальне дискретне (растрове) подання → послідовність бінарних образів (основних компонент) + деталізуючий образ (допоміжна компонента) → послідовність стиснутих бінарних образів + стиснутий допоміжний образ.

Вихідне зображення подається функцією розподілу яскравості  $f(\mathbf{r})$ , де  $\mathbf{r} = (x, y)$  — радіус-вектор точки зображення в картинній площині. Оптимальне дискретне кодування здійснюється на основі нерівномірного квантування за рівнем яскравості за методикою, запропонованою в [6]. Отримане таким чином раstroве зображення має значно вищу сигнальну ентропію (інформативність) в порівнянні з

растровим відповідним зображенням, одержаним при рівномірному квантуванні.

Наступним етапом є подання растрового зображення послідовністю його бінарних і деталізуючого образів:

$$f(\mathbf{r}) = \sum_{k=1}^P Z_k \cdot \bar{f}_k(\mathbf{r}) + \tilde{f}_P(\mathbf{r}), \quad (1)$$

де  $\bar{f}_k(\mathbf{r})$  — бінарний образ вихідного зображення, отриманий на  $k$ -ому кроці деталізації;  $Z_k$  — поріг яскравості виділення бінарного образу на  $k$ -ому кроці деталізації;  $P$  — кількість виділених бінарних образів;  $\tilde{f}_P(\mathbf{r})$  — деталізуючий образ, виділений на  $P$ -ому кроці деталізації.

Виділення бінарного образу на  $k$ -ому кроці деталізації здійснюється за формулою:

$$\bar{f}_k(\mathbf{r}) = \begin{cases} 1, & \tilde{f}_{k-1}(\mathbf{r}) \geq Z_k; \\ 0, & \tilde{f}_{k-1}(\mathbf{r}) < Z_k, \end{cases} \quad (2)$$

а деталізуючого образу:

$$\tilde{f}_k(\mathbf{r}) = \tilde{f}_{k-1}(\mathbf{r}) - Z_k \cdot \bar{f}_k(\mathbf{r}). \quad (3)$$

В результаті при фіксованому значенні рівня деталізації  $P$  вихідне зображення подається у вигляді послідовності:

$$Z_1, Z_2, \dots, Z_P, \bar{f}_1(\mathbf{r}), \bar{f}_2(\mathbf{r}), \dots, \bar{f}_P(\mathbf{r}), \tilde{f}_P(\mathbf{r}), \quad (5)$$

якої достатньо, щоб на основі виразу (1) відновити вихідне зображення  $f(\mathbf{r})$  без втрат якості.

Ряд (5) може бути продовжено до того моменту, коли подання деталізуючої компоненти стане можливим з використанням одного біта на піксел. Тобто, коли вона сама перетвореться на бінарний образ.

Для стиснення бінарних образів в теперешній час найбільш ефективними є алгоритми, запропоновані підрозділом Міжнародного Союзу Телекомунікацій ITU-T, T4 (Group 3) та T6 (Group 4). Останній алгоритм впроваджує двовимірне кодування і є модифікацією одно-

вимірної схеми (Т4), яка, в свою чергу є модифікацією оригінального метода Хаффмана.

Нижче, як приклад, наведені вихідне зображення  $f(\mathbf{r})$ , його основна  $f_0(\mathbf{r})$  і допоміжна  $\tilde{f}_0(\mathbf{r})$  компоненти (рис. 1 а,б,в, відповідно).

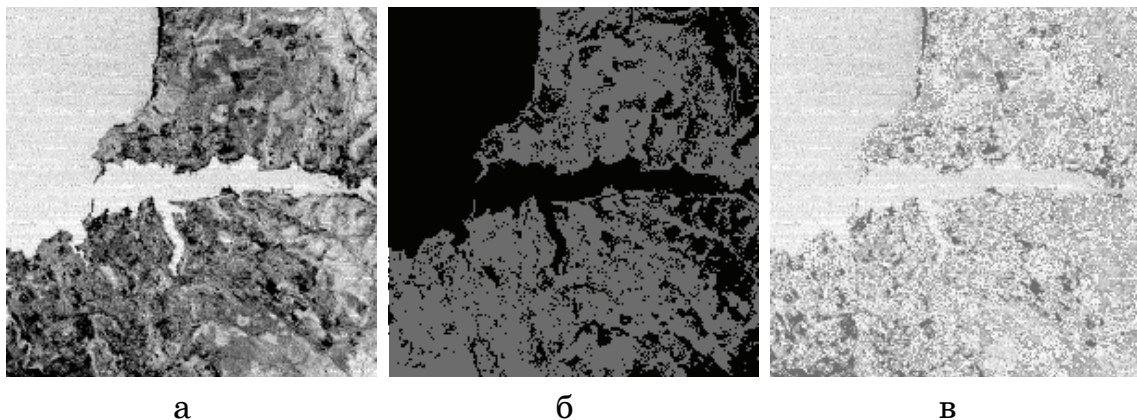


Рис. 1

Процедуру виділення основної компоненти (5) можна продовжити. При цьому  $k$ -ій ітерації за вихідне зображення приймається  $\tilde{f}_{k-1}(\mathbf{r})$ . В результаті розподіл яскравості вихідного зображення  $f(\mathbf{r})$  може бути поданий у вигляді суми ряду:

$$f(\mathbf{r}) = \sum_{k=0}^{\infty} f_k(\mathbf{r}) \approx \sum_{k=0}^P f_k(\mathbf{r}). \quad (6)$$

Точність подання визначається кількістю елементів ряду  $P$ . Оцінюючи її значенням середньоквадратичної помилки  $E_P$ , для зображення, поданого на рис. 1, а, маємо:  $E_0 \approx 4016$ ,  $E_1 \approx 1286$ ,  $E_2 \approx 436$ ,  $E_3 \approx 163$ . Таким чином, збільшення кількості елементів ряду (6) на один зменшує значення середньоквадратичної помилки подання зображення приблизно на  $32 + (P-1) \cdot 1.8$  відсотки.

Перевагою застосування ряду (6) є можливість заміни багатотонового зображення послідовністю його бінарних образів, які забезпечують більший коефіцієнт стиснення. Так, для зображення, наведеного на рис. 1, а, послідовність з чотирьох ( $P = 3$ ,  $E_3 \approx 163$ ) образів поданих в форматі BMP на основі алгоритму RAR стискається до 22320 байтів, в той час як відомий алгоритм JPEG для середньоквад-

ратичної помилки  $E \approx 161$  дозволяє отримати файл того ж зображення обсягом 21804 байтів. При цьому в останньому випадку на зображенняні стають суттєво помітними притаманні цьому алгоритму артефакти у вигляді структурованих зон розмиття. При застосуванні запропонованого алгоритму відновлене зображення характеризується зниженням контрастності, яку, однак, можна скорегувати на наступних етапах обробки.

### **Висновки та перспективи подальших досліджень**

Розвинuto підхід до стиснення растроvих напівтонових зображень, запропонований в [5], який може бути поширений на мультиспектральні зображення. Проведення подальших досліджень буде пов'язано з визначенням оптимального значення рівня деталізації  $P$ , який би забезпечив максимальне стиснення зображень різної природи: фотограмметричних, рентгенівських, ультразвукових та інших.

## **ЛІТЕРАТУРА**

1. Сэломон Д. Сжатие данных, изображений и звука. — М.: Техносфера, 2004. — 368 с.
2. Ватолин Д.С. Алгоритмы сжатия изображений. — М.: Диалог-МГУ, 1999. — 384 с.
3. Progressive Bi-level Image Compression, Revision 4.1 // ISO/IEC JTC1/SC2/WG9, CD 11544, September 16, 1991.
4. Гнатушенко В.В., Реута О.В. Реконструкція растроvих зображень на основі їх інваріантної геометричної моделі // Праці Таврійської державної агротехнічної академії. — Мелітополь: ТДАТА, 2004. — Вип. 4, т. 24. — С. 99 – 103.
5. Гнатушенко В.В., Реута О.В. Стиснення растроvих проекційних зображень на основі їх бінарних образів // Прикладна геометрія та інженерна графіка. - К.: КНУБА, 2004. – Вип. 74. – С. 146-152.
6. Корчинський В.М. До питання про оптимальне дискретне подання напівтонових проекційних зображень // Праці Таврійської державної агротехнічної академії. — Мелітополь: ТДАТА, 2004. — Вип. 4, т. 24. — С. 22 – 26.

Получено 13.03.2006 г.